

FIG. 1

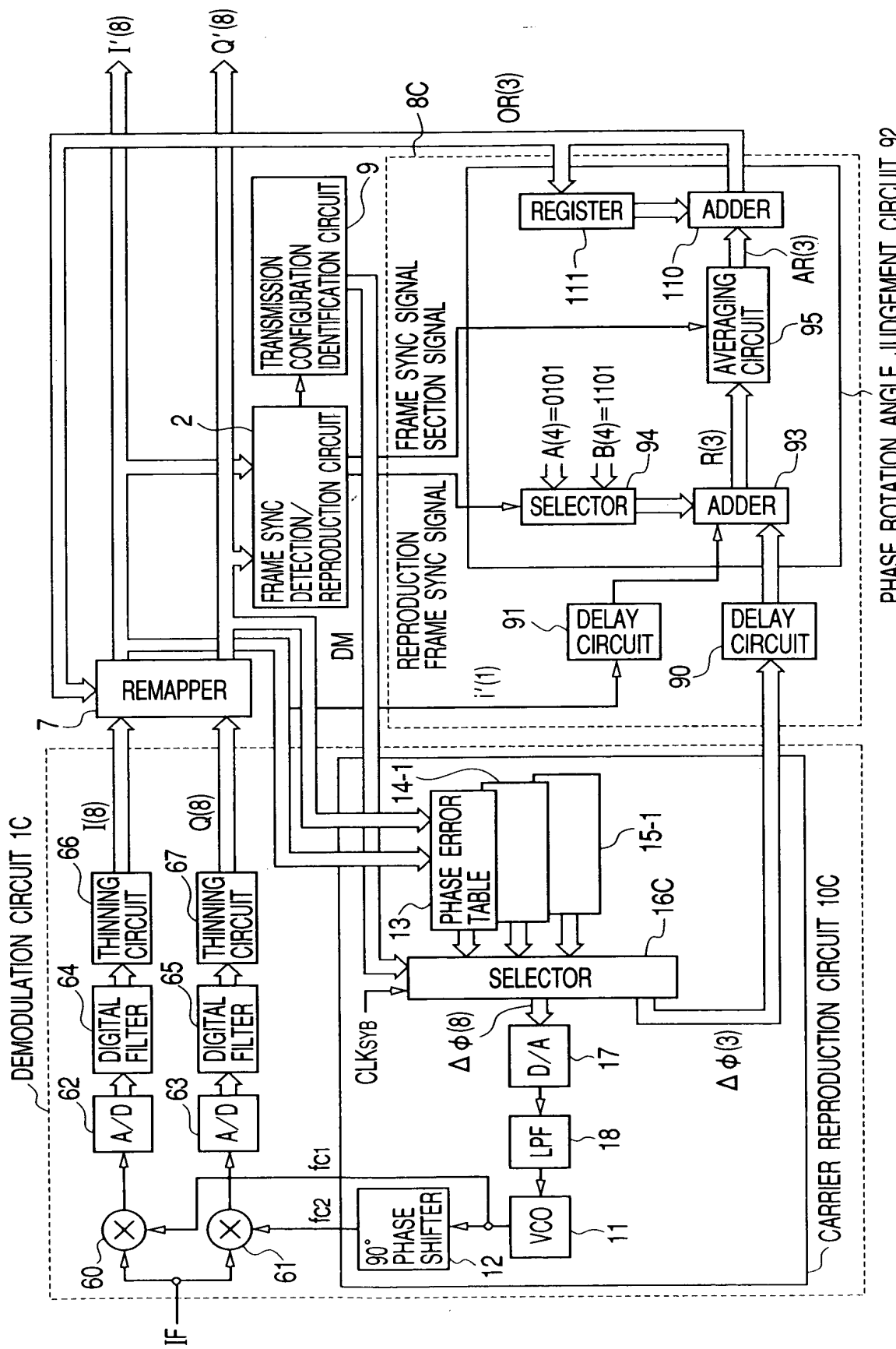


FIG. 2A

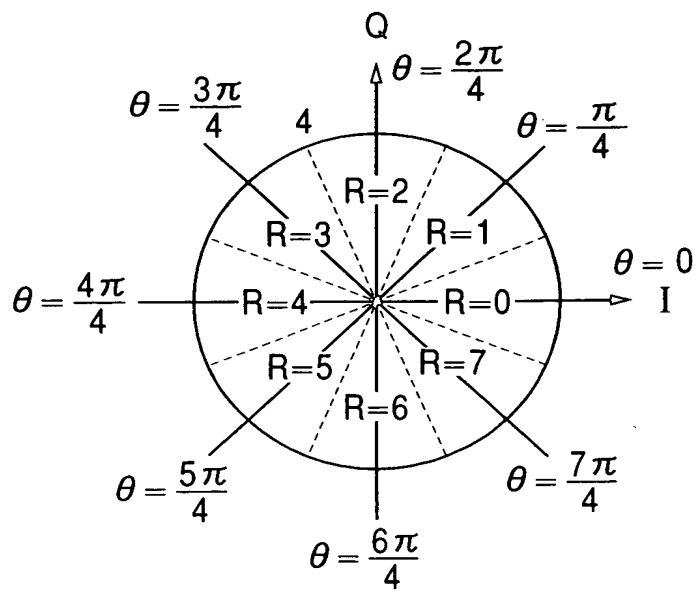


FIG. 2B

θ	R	R (3)
0	0	000
$\pi/4$	1	001
$2\pi/4$	2	010
$3\pi/4$	3	011
$4\pi/4$	4	100
$5\pi/4$	5	101
$6\pi/4$	6	110
$7\pi/4$	7	111

FIG. 3

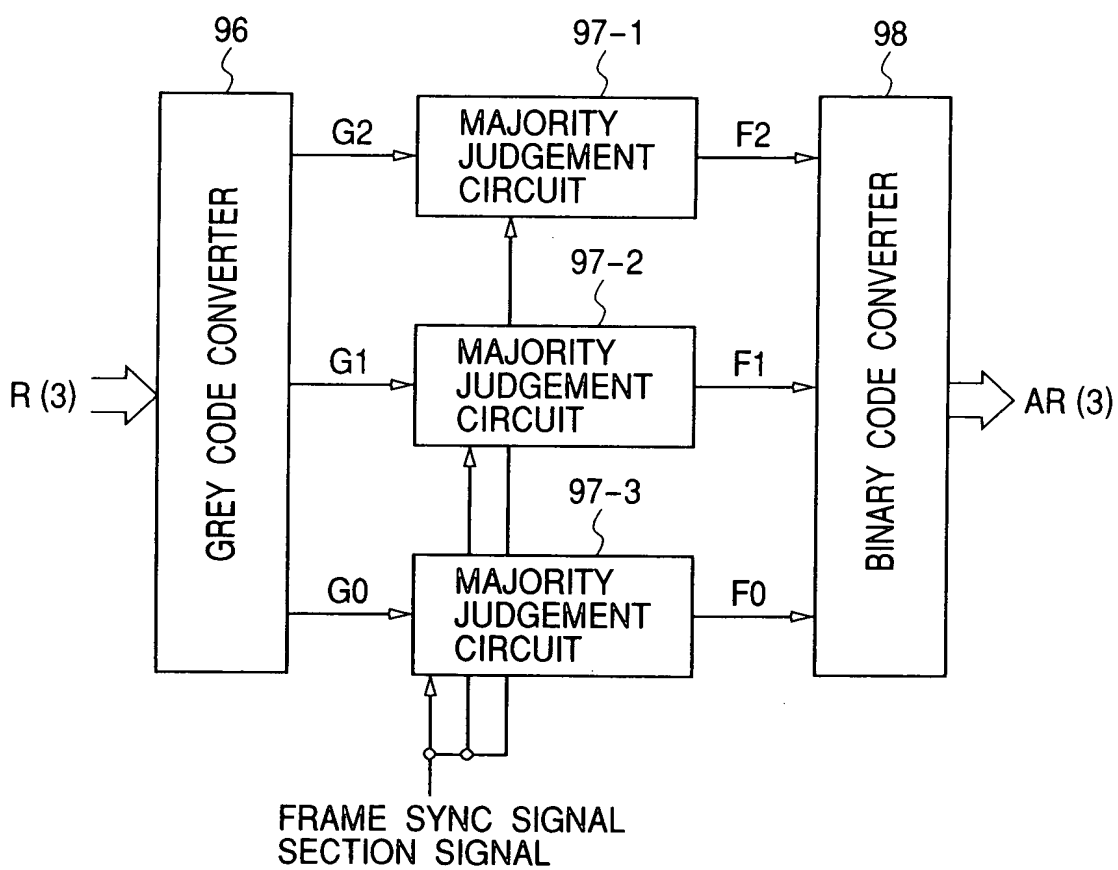
AVERAGING CIRCUIT 95

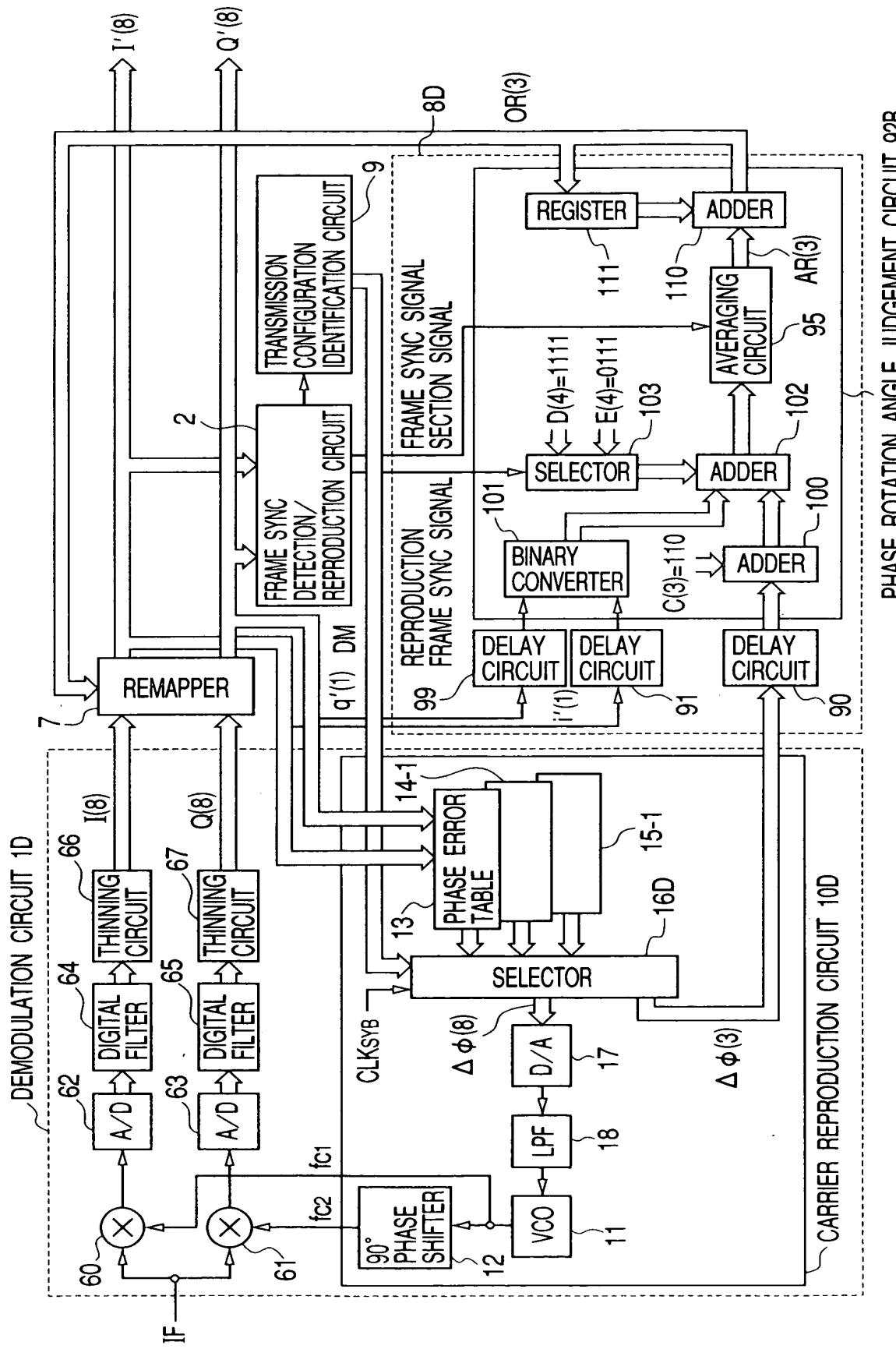
FIG. 4A

INPUT	OUTPUT
000	000
001	001
010	011
011	010
100	110
101	111
110	101
111	100

FIG. 4B

INPUT	OUTPUT
000	000
001	001
011	010
010	011
110	100
111	101
101	110
100	111

FIG. 5



PHASE ROTATION ANGLE JUDGEMENT CIRCUIT 92B

09/554695

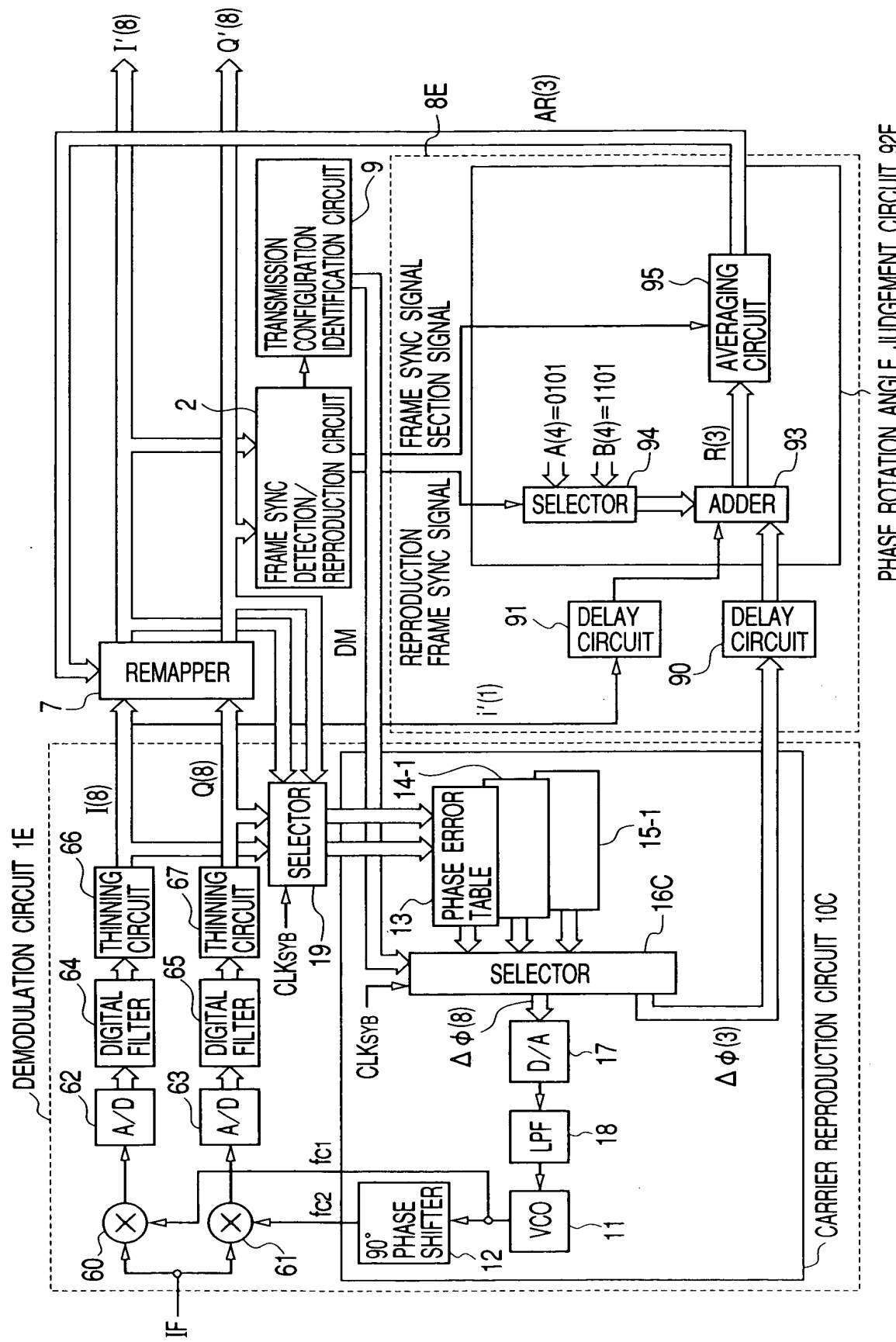
6 / 26

FIG. 6

INPUT (q (1) i (1))	OUTPUT
0 0	0 0
0 1	0 1
1 1	1 0
1 0	1 1

7/26

FIG. 7



8
FIG.

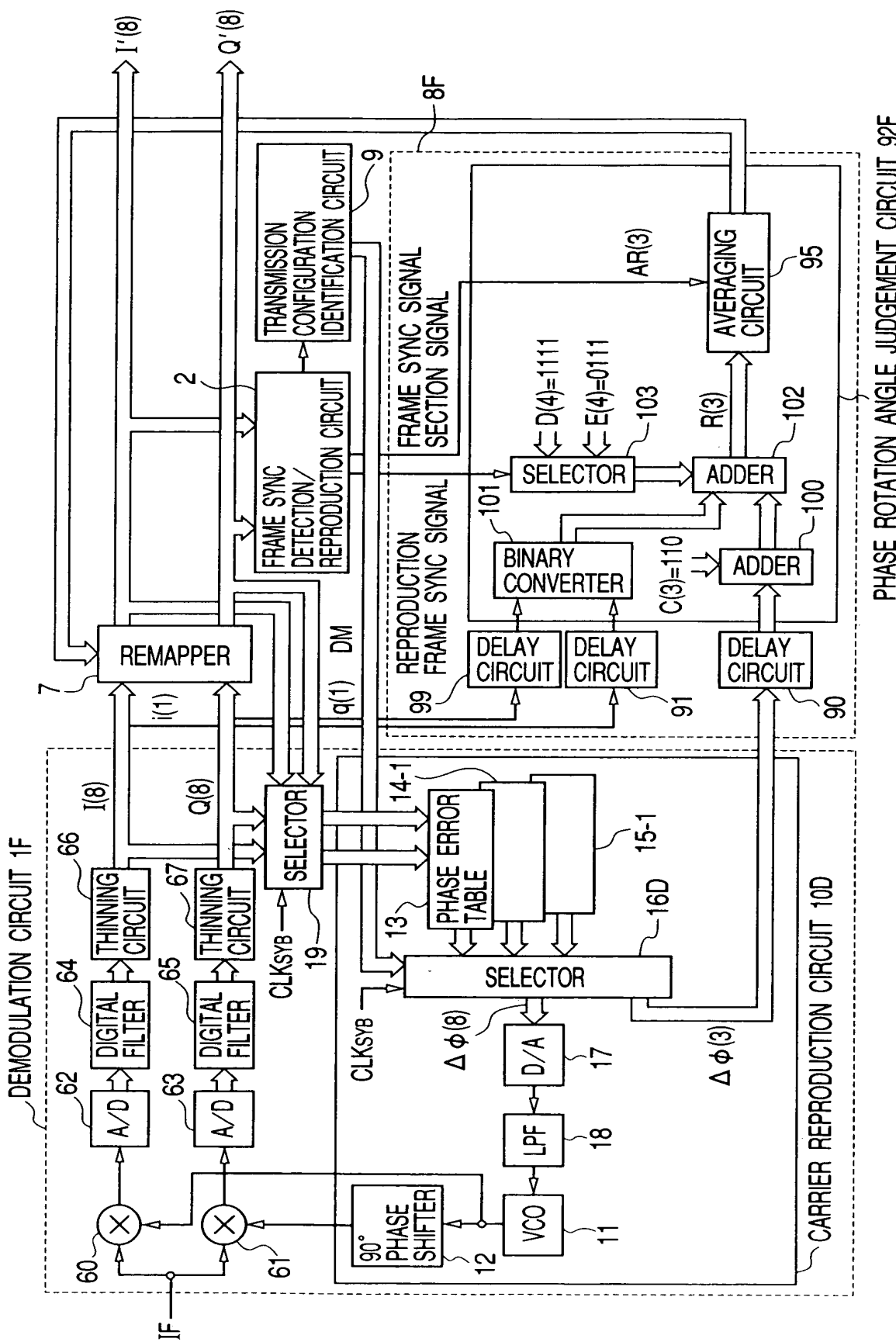


FIG. 9A

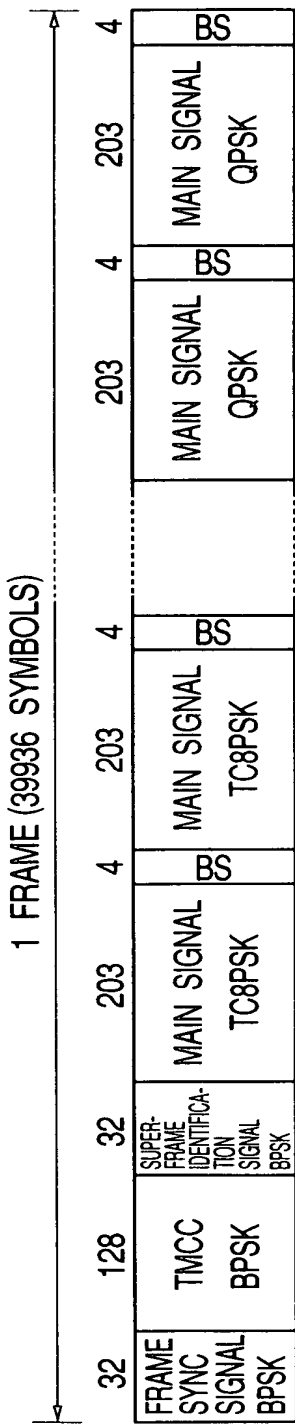


FIG. 9B

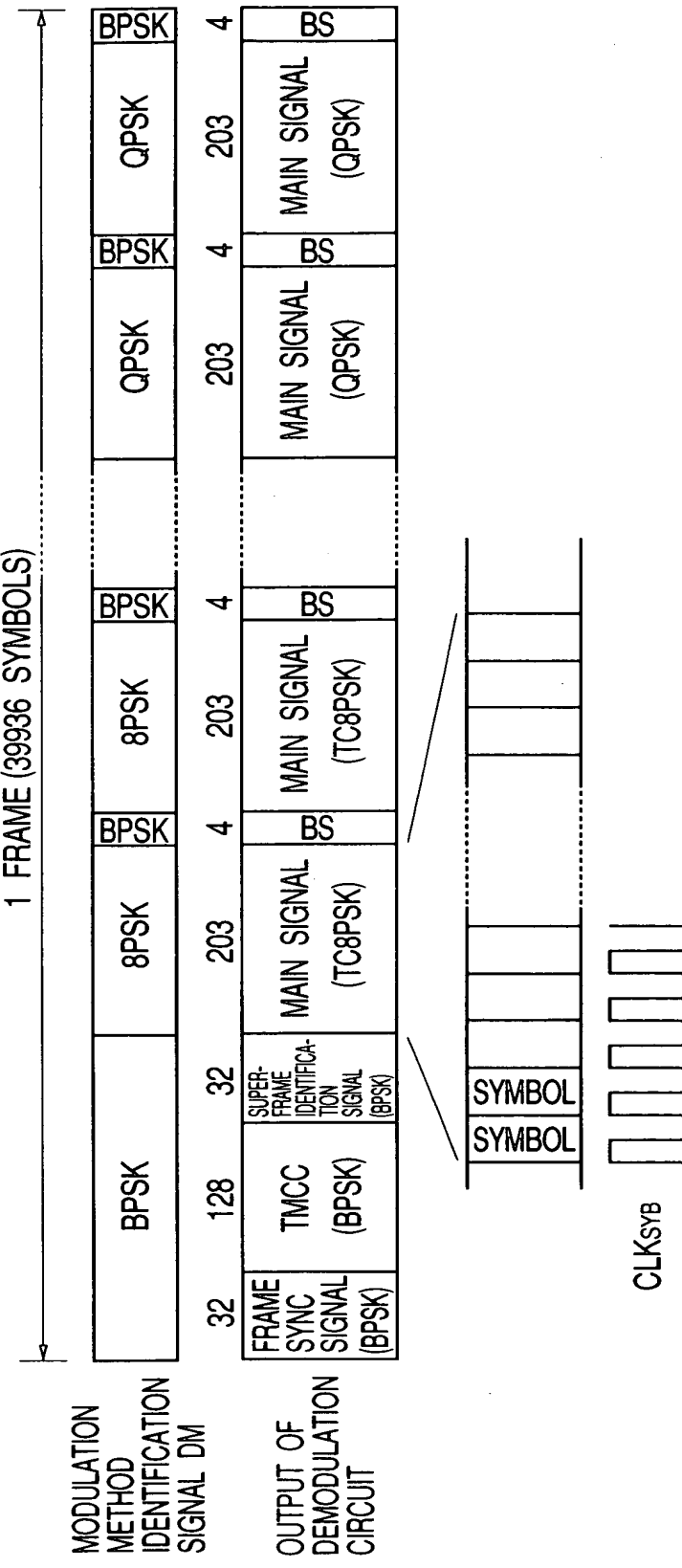


FIG. 10

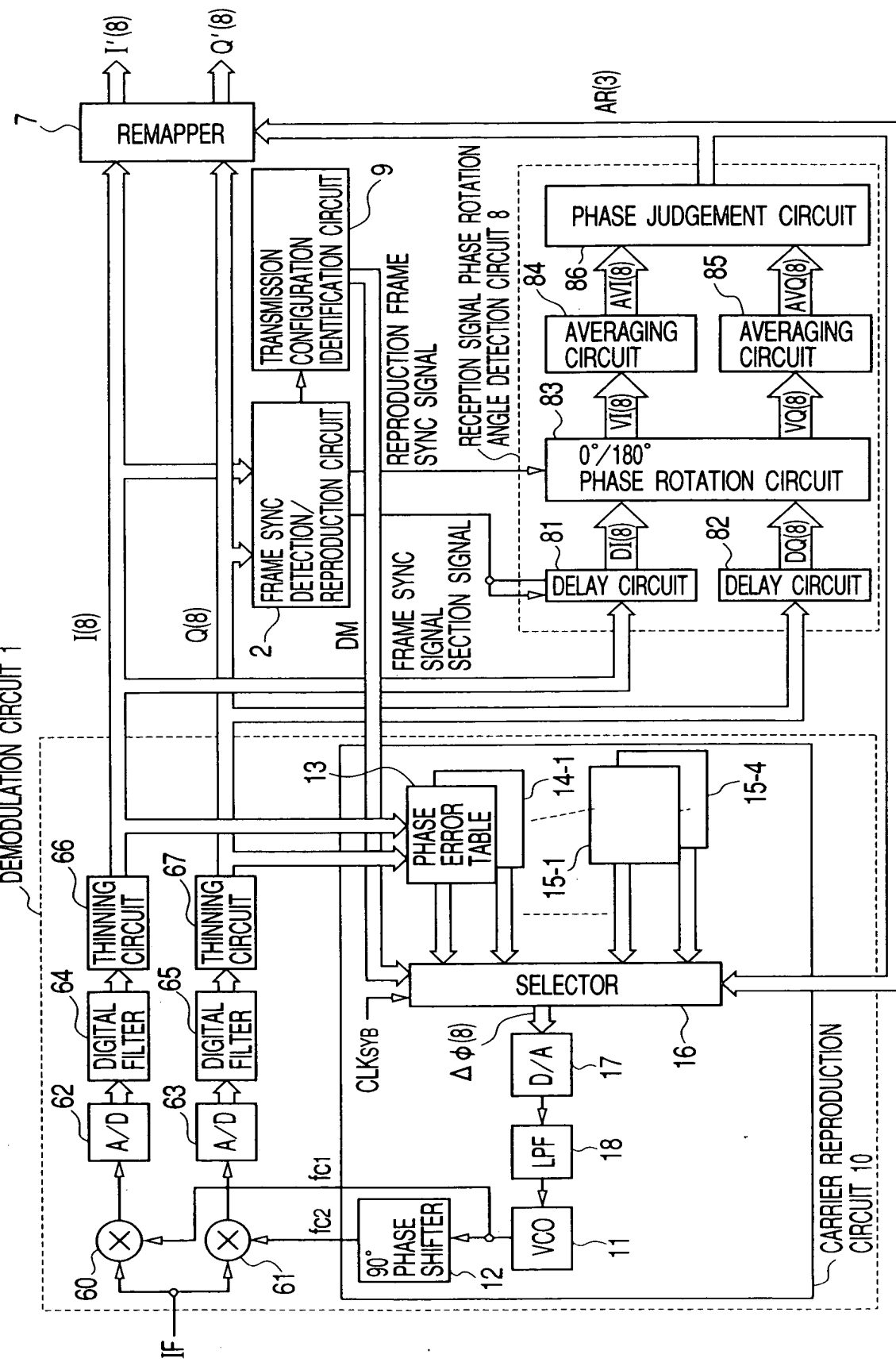


FIG. 11A

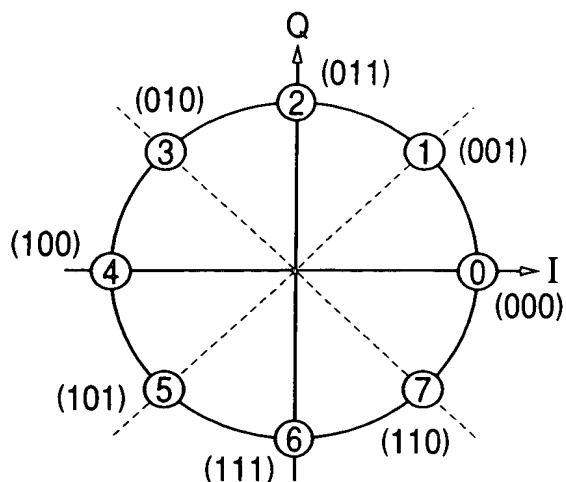


FIG. 11B

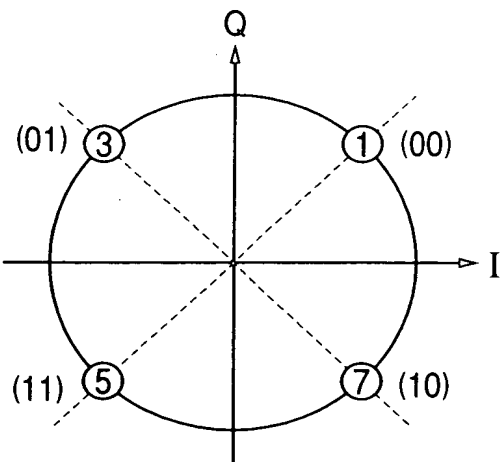


FIG. 11C

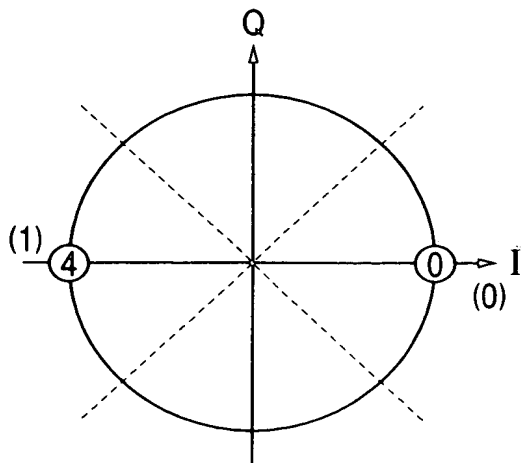


FIG. 12

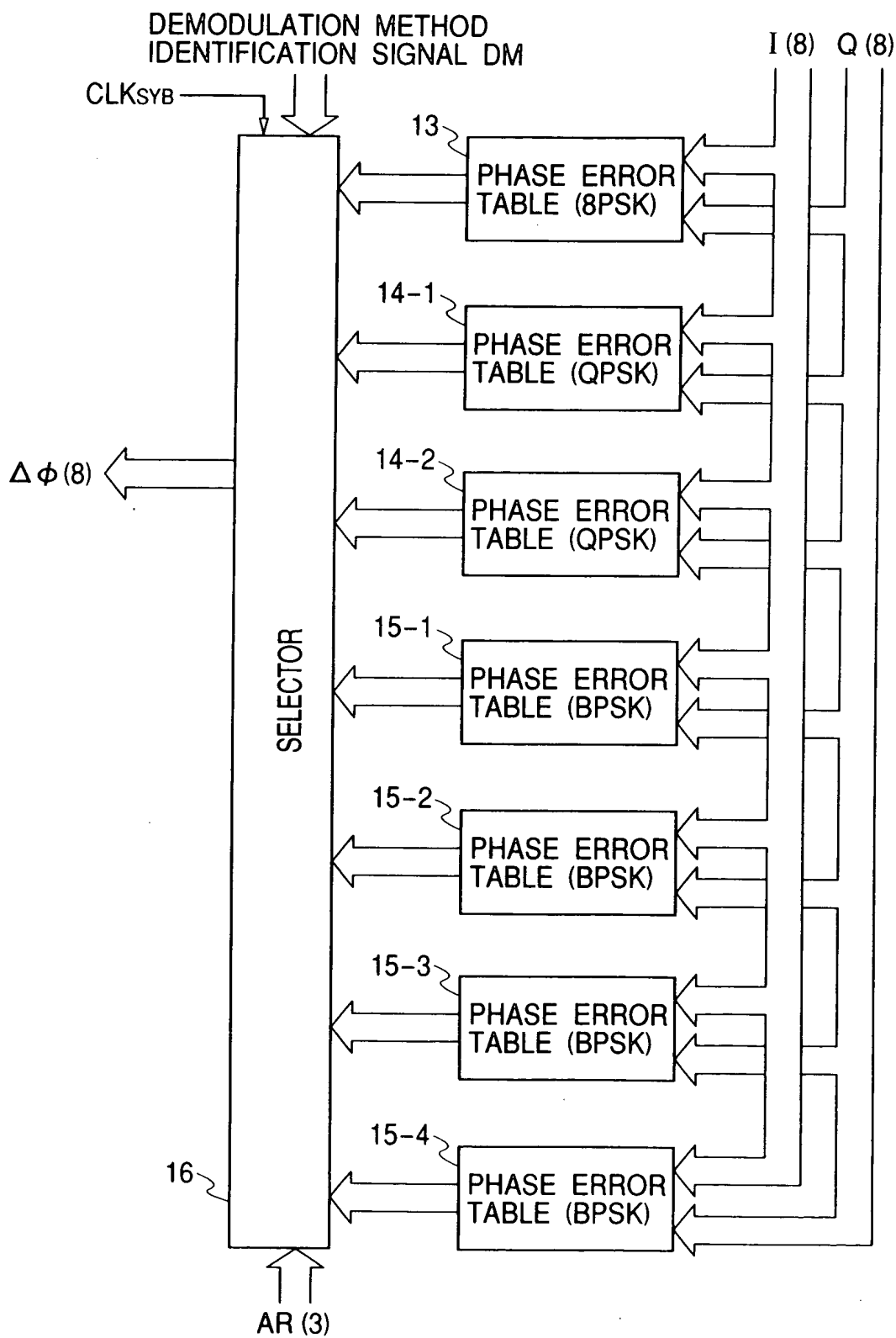


FIG. 13

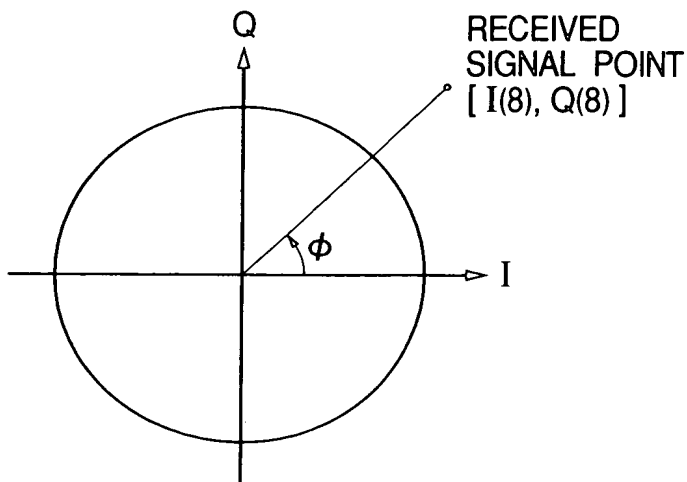
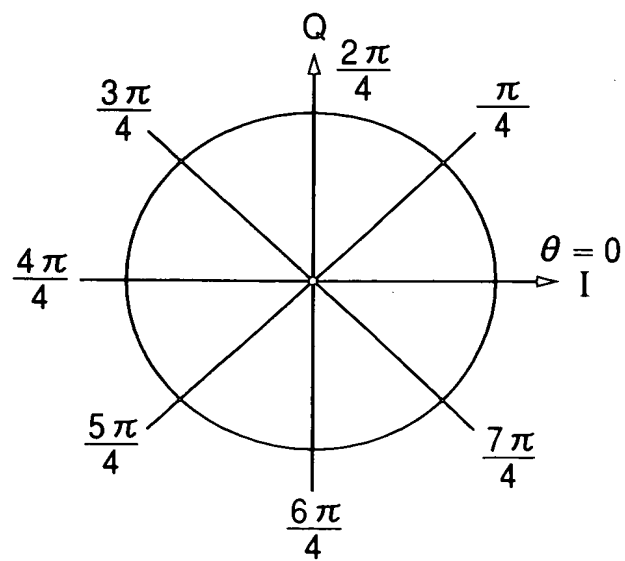


FIG. 14



09/554695

14/26

FIG. 15

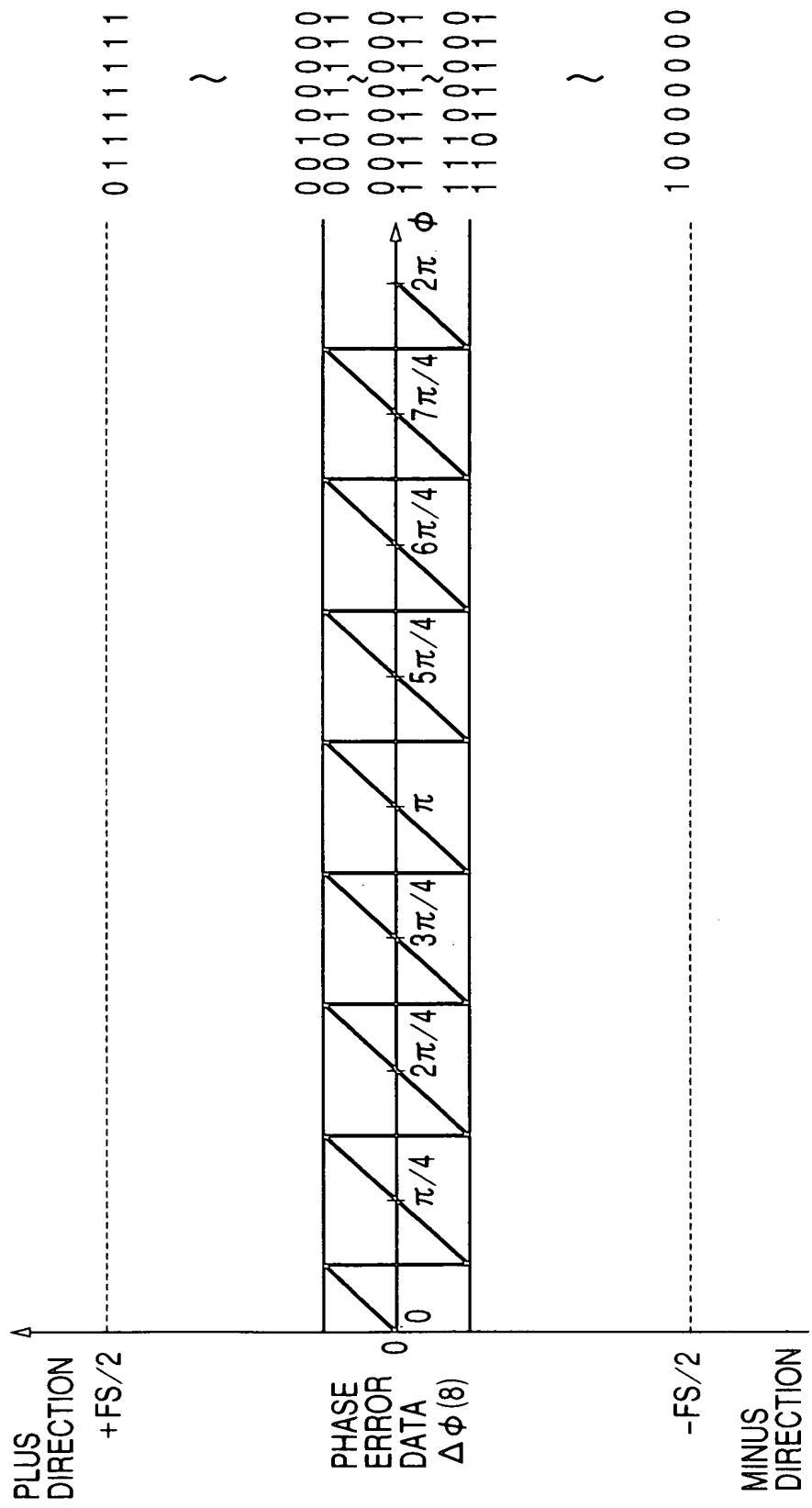
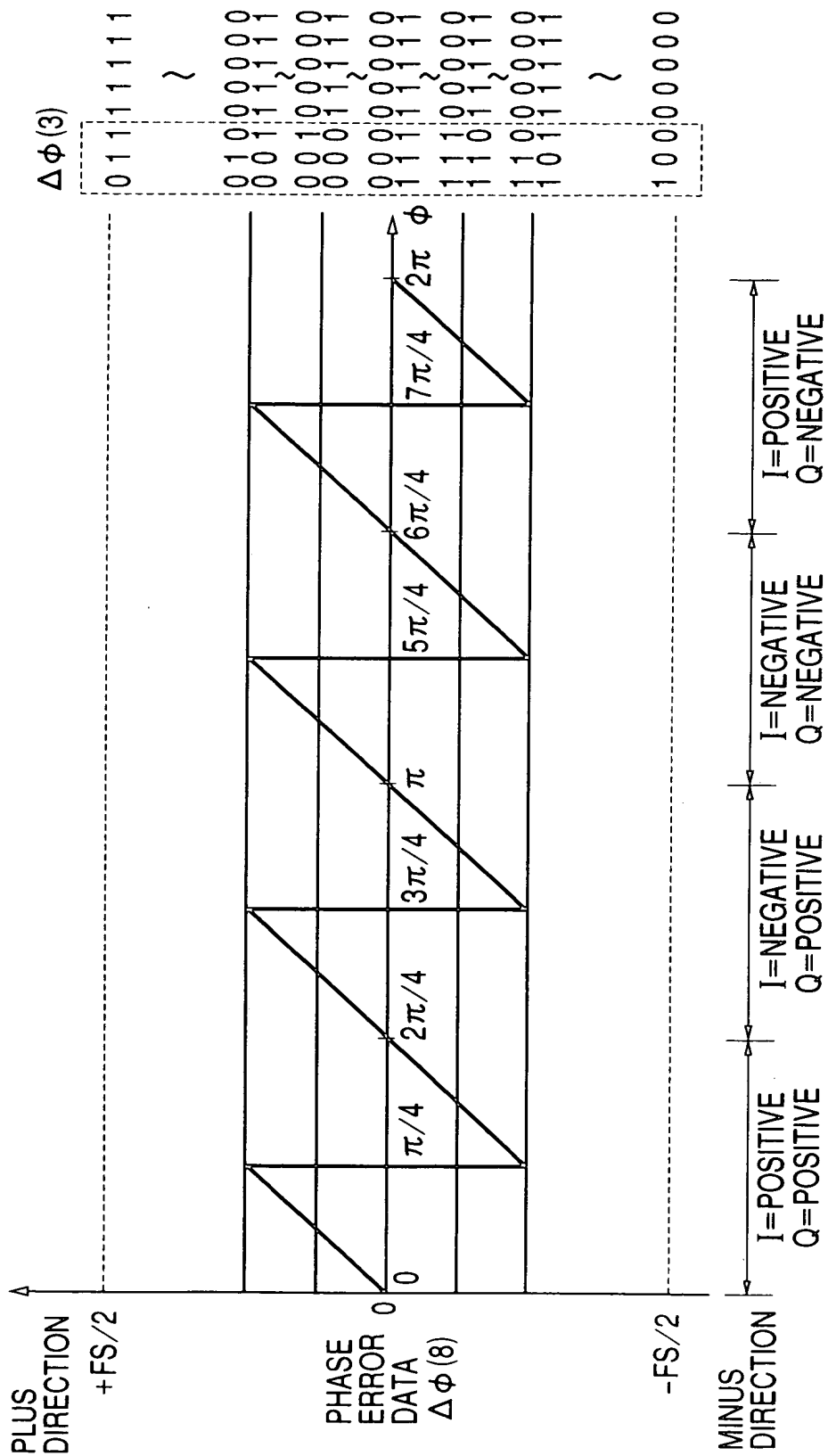


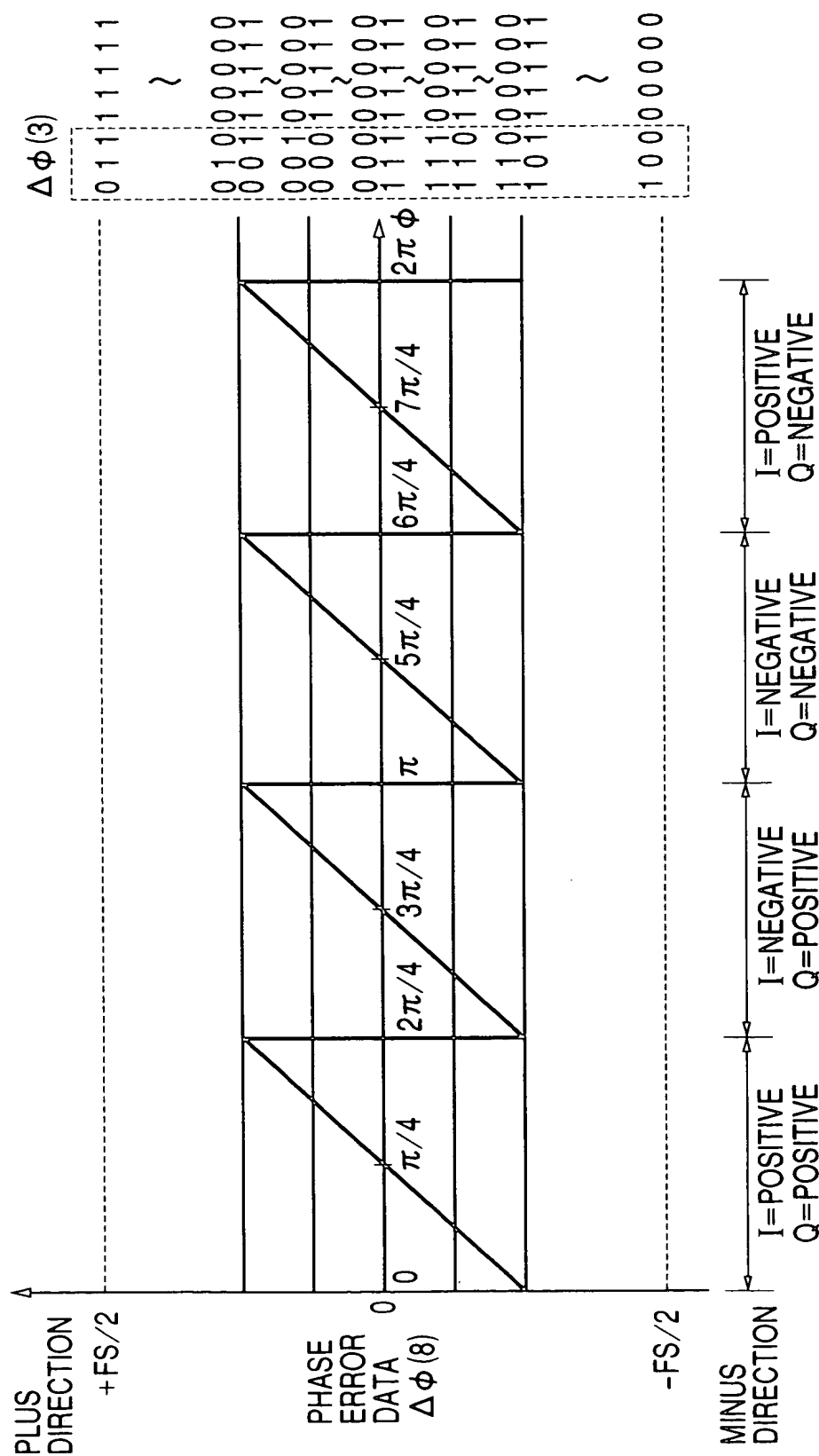
FIG. 16



09/554695

16/26

FIG. 17



17/26

FIG. 18

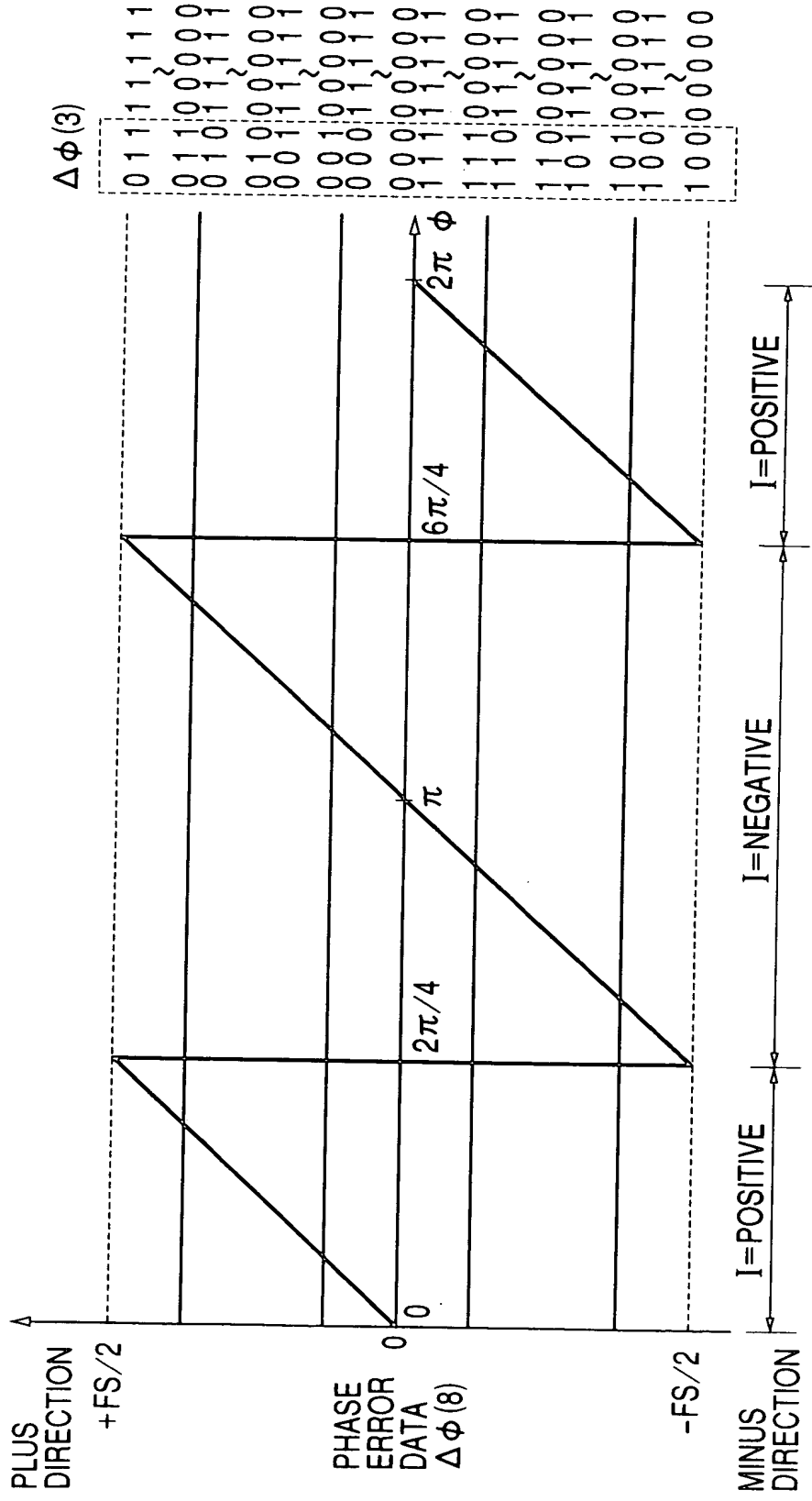
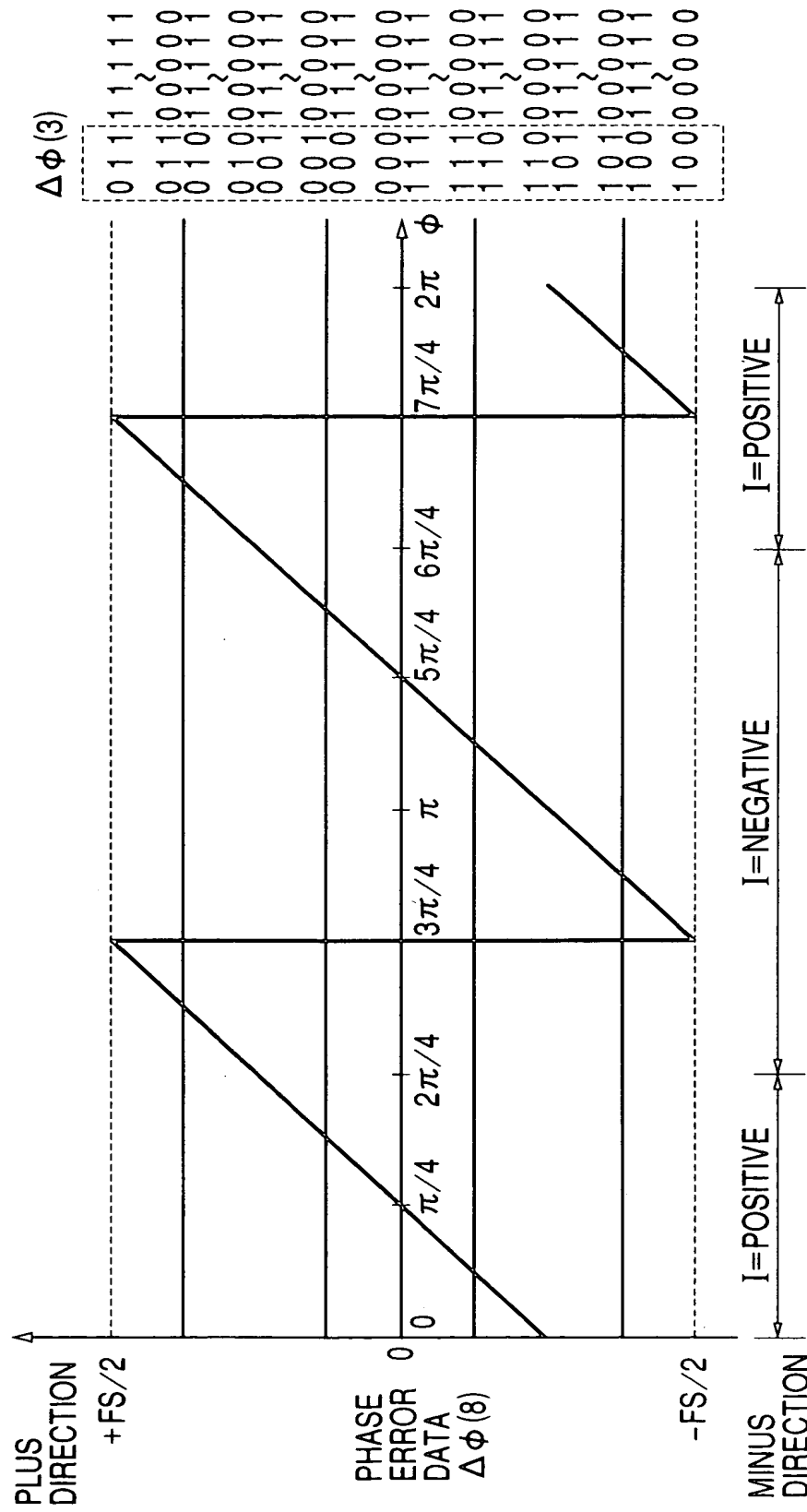


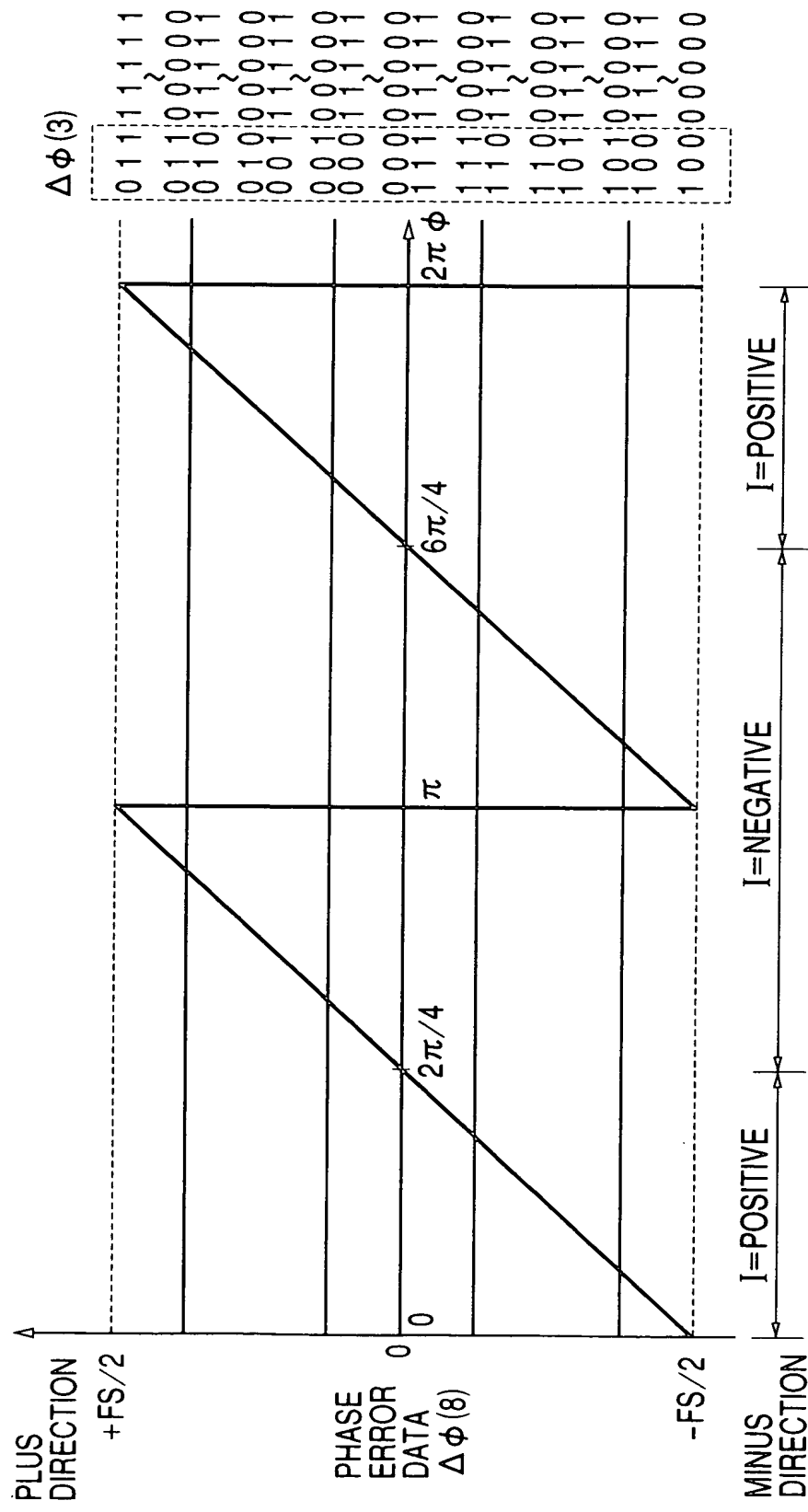
FIG. 19



09/554695

19/26

FIG. 20



0001000000000000

0001000000000000

09/554695

20/26

FIG. 21

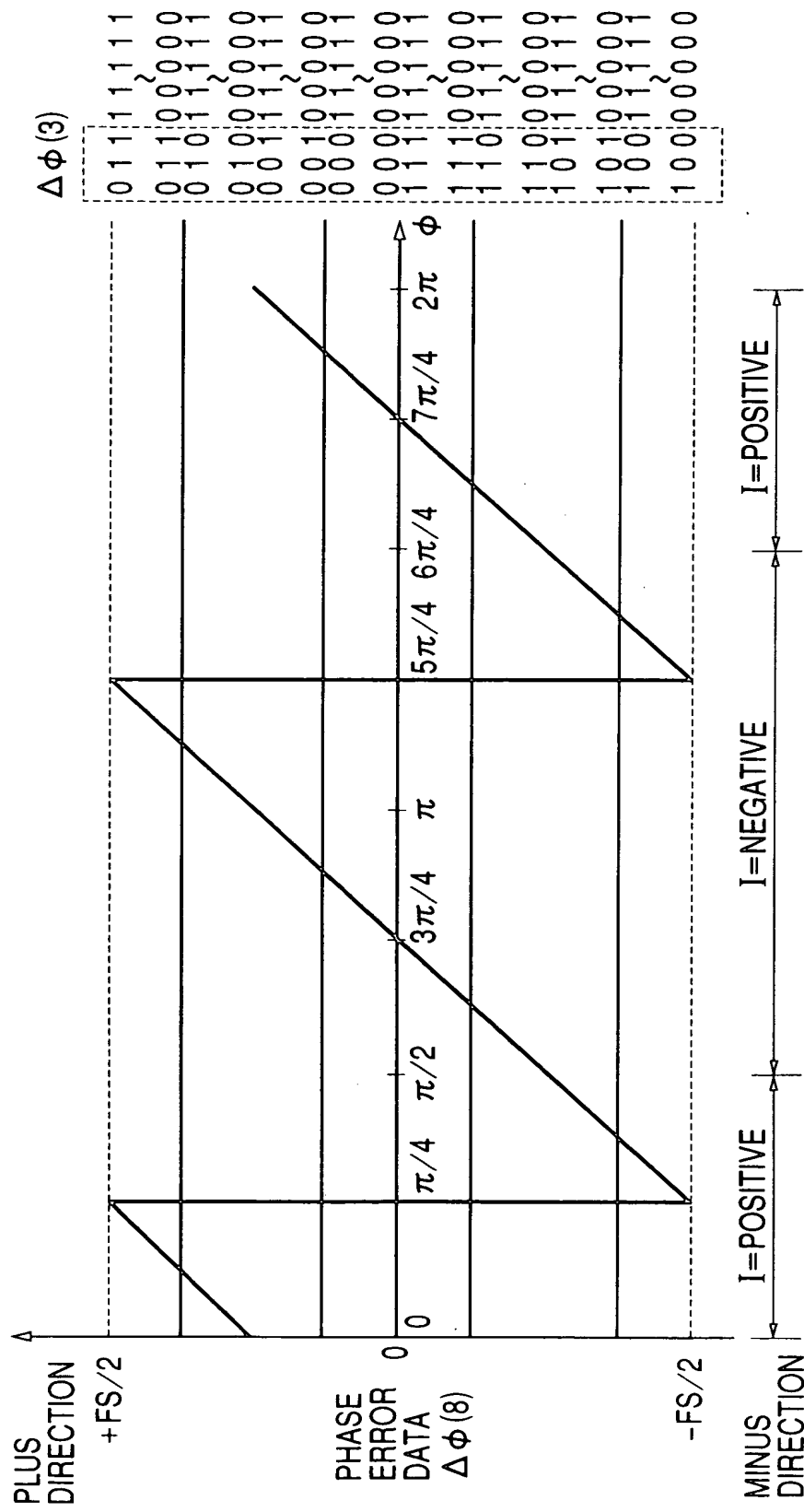


FIG. 22

FRAME SYNC DETECTION/REPRODUCTION CIRCUIT 2

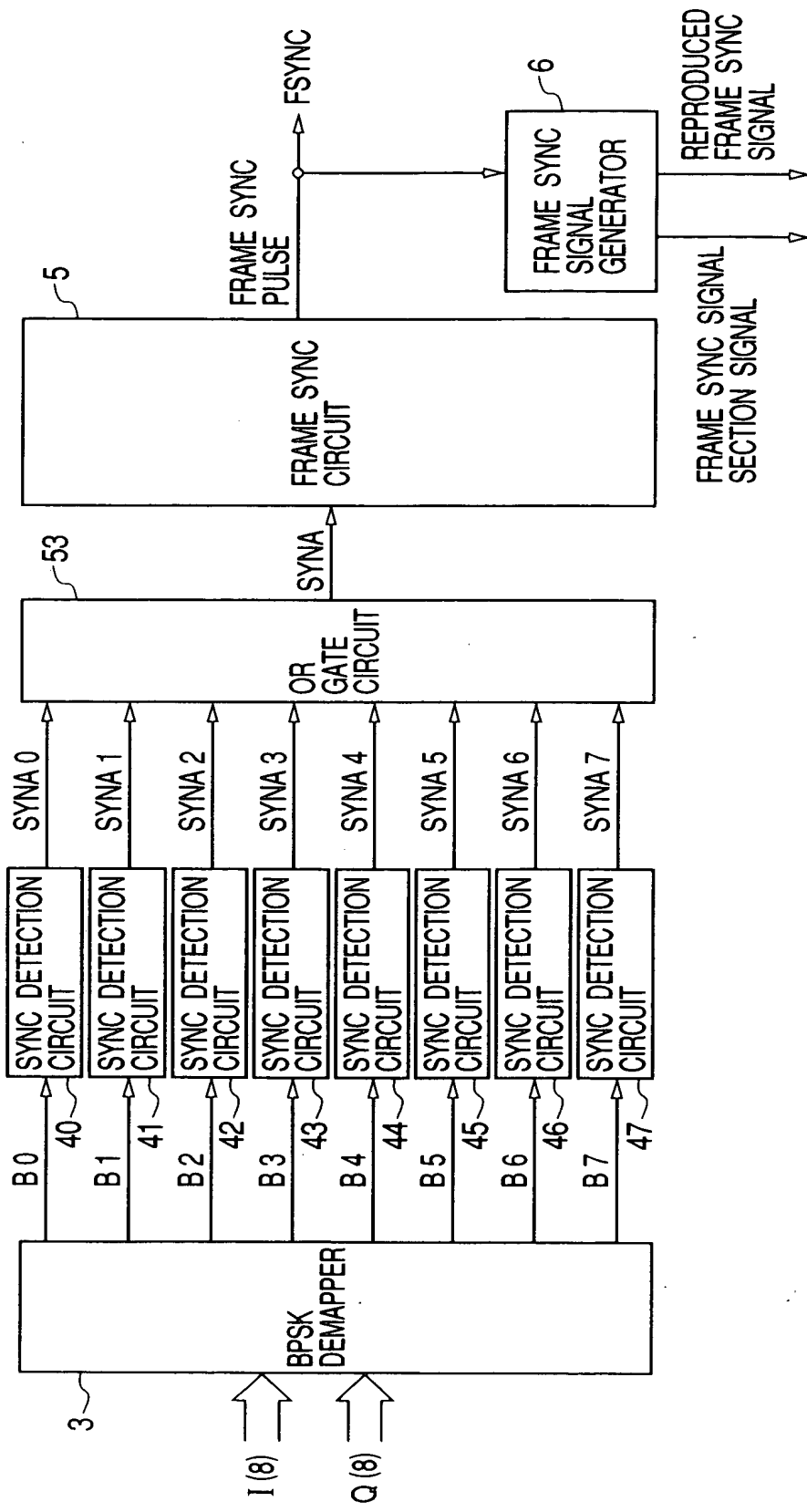


FIG. 23A

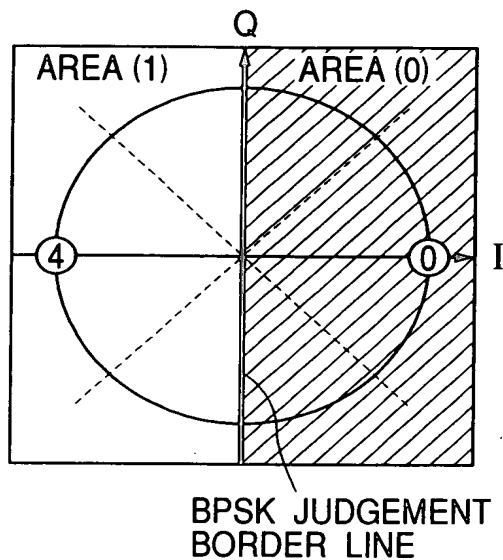


FIG. 23B

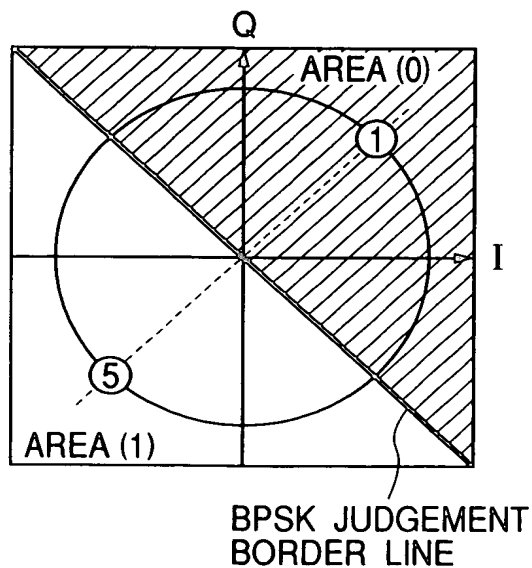


FIG. 24

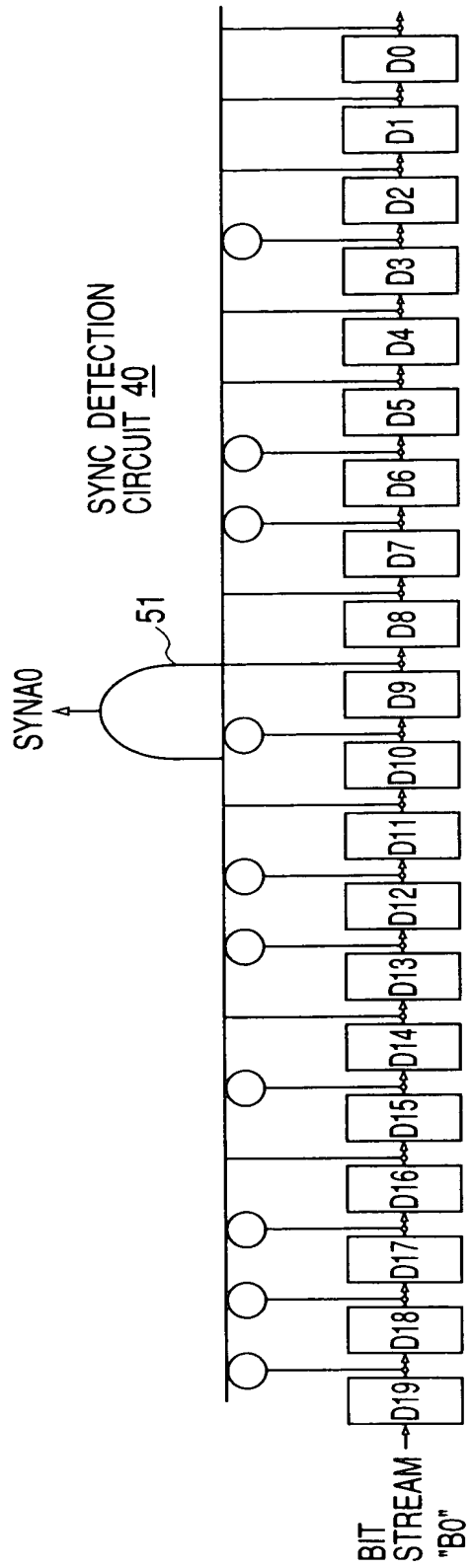


FIG. 25

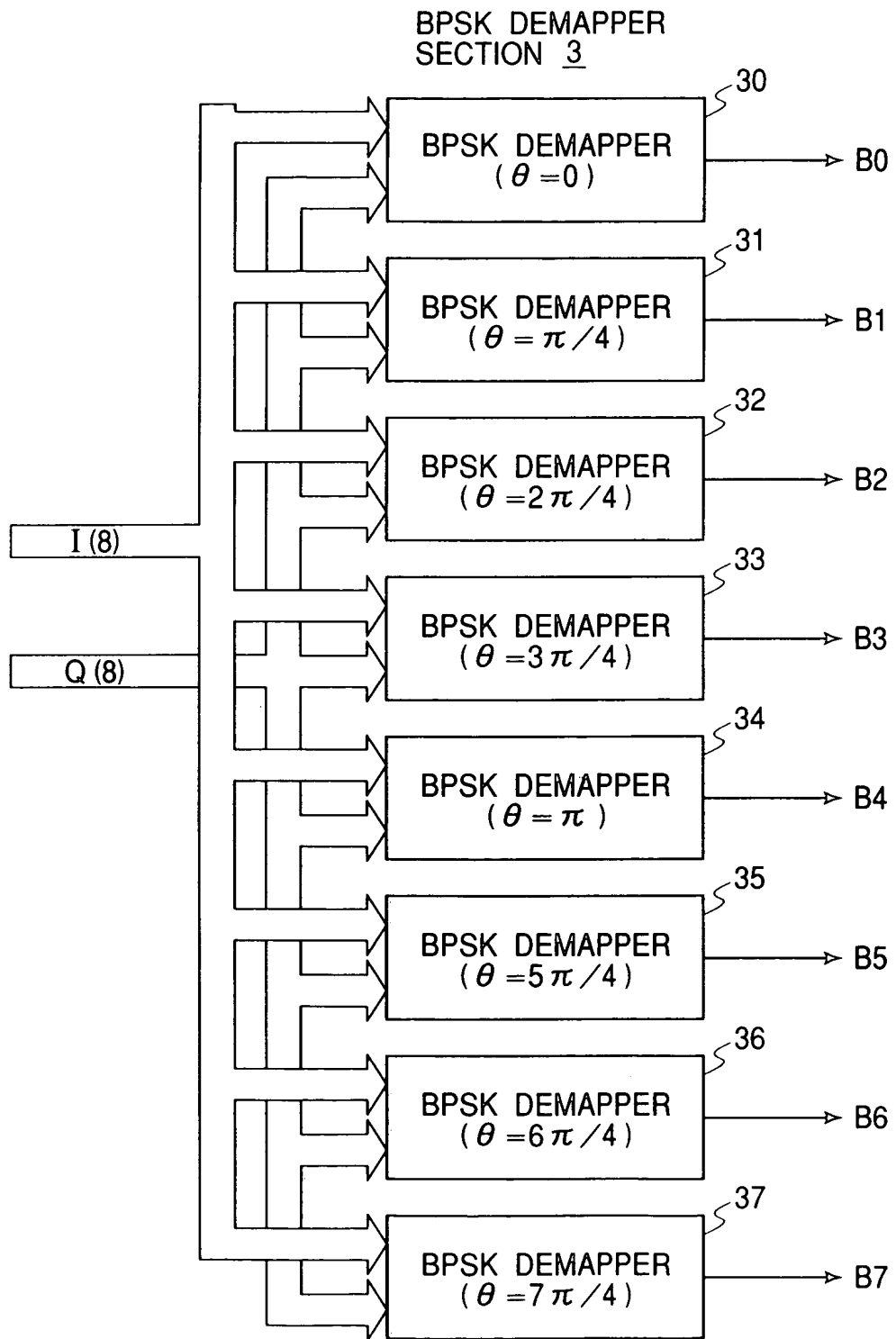


FIG. 26A

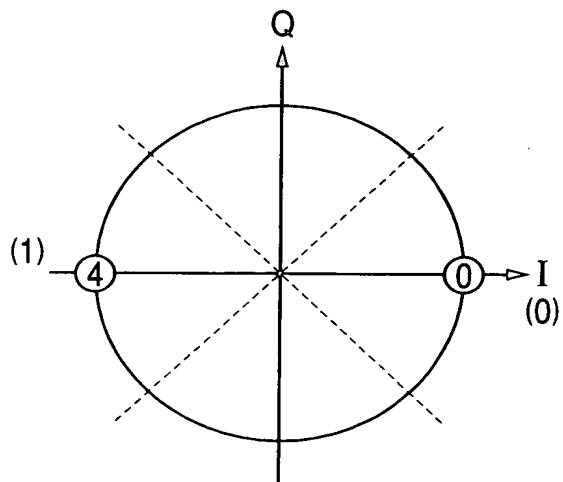


FIG. 26B

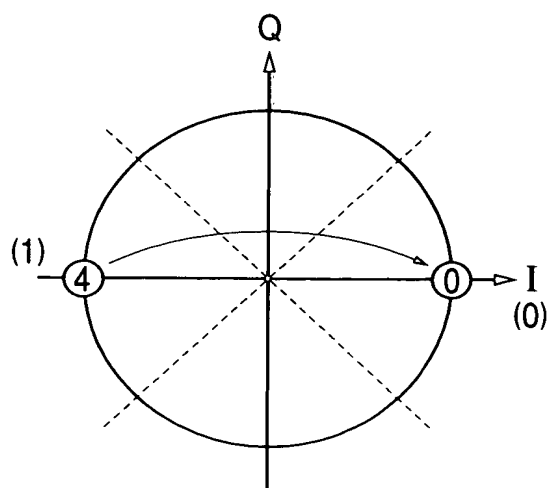


FIG. 27

